

九州大学 工 正員 橋 東一郎  
九州大学 工 正員 小松 利光  
九州大学 工 学生員 藤沢 弘明

§ 1. まえがき

水平方向の一樣流れ中に放出される鉛直密度噴流 (Bent-over-Plume) は、一樣流のために急激に曲げられた後、密度噴流の中心軸が、かなり水平に近く、噴流の水平方向の速度成分が一樣流の速度  $U_a$  にはほぼ等しい Far-Field-region に急速に漸近することが知られている。Fan<sup>1)</sup> はこの過程について、抵抗係数  $C_d$  と連行係数  $\alpha$  を導入した数値解析を行っているが、計算が面倒である上に、 $C_d$  や  $\alpha$  の値を流れと噴流特性の間数として表示するには、程々の問題点が残されている。しかしながら Bent-over-Plume の特性を予測するためには、Far-Field-region における知見のみで、実用上はほぼ十分であり、Slawson、Csanady<sup>2)</sup> は噴流の径路に対して、 $z/L = \alpha^{2/3} \cdot (3/8)^{1/3} \cdot (z/L)^{2/3}$  ( $L = 4B/U_a^2$ ;  $B$ : 浮力束) を与え、首藤<sup>3)</sup> は Fan 及び自らの実験結果を用いて、上式の  $\alpha$  に仮想原点を導入し、径路の予測式を提案している。一方、Pratte、Baines<sup>4)</sup> は、均一流体の Bent-over-Jet における実験を行ない、噴流の径路に対して  $z/L_0 = 2.05 (z/L_0 k)^{0.28}$  を提案している。

Bent-over-Plume は、放出口の運動量  $M_0$ 、一樣流速  $U_a$ 、及び浮力束  $B$  で規定される流れであるから、与えられた流れの内部 Froude 数  $F_i$  に応じて、Bent-over-Jet 型から浮力効果の卓越する Bent-over-Plume 型に物轉するものと考えられる。本文は初期運動量を導入して Baines や首藤の研究を補足し、より合理的な予測式を求めたものである。

§ 2. 基礎式の解析

Slawson、Csanady、及び首藤と同様に、Far-Field Region における流れの基礎式は、鉛直方向の流速を  $w$ 、密度欠損を  $\Delta\rho$  とし、次式で与えられる。

$$\frac{d}{dx} (U_a R^2) = 2R\alpha w \quad \dots (1.a) \quad \frac{d}{dx} (R^2 U_a w) = \frac{\Delta\rho}{\rho_a} g R^2 \quad \dots (1.b)$$

$$R^2 U_a \frac{\Delta\rho}{\rho_a} g = B = \text{const} \quad \dots (1.c)$$

ここに、 $\alpha$  は連行係数で、式中の記号は図-1 に示す通りである。また、密度噴流の径路をさめる式は、 $\frac{dz}{dx} = \frac{w}{U_a} \quad \dots (2)$

式(1.c)を式(1.b)に代入し、仮想原点における噴出 momentum を  $M_0 = R_0^2 U_a^2$  とすると

$$w = \left( \frac{B}{U_a} x + \frac{M_0}{U_a} \right)^{1/2} \quad \dots (3)$$

となり、式(3)を(1.a)に代入して、仮想原点  $x=0$  で  $R \rightarrow 0$  とすると、 $R$ 、 $w$ 、及び  $\frac{\Delta\rho}{\rho_a}$  は、各々次のようになる。

$$R = \left[ 3\alpha \left( \frac{B}{U_a} \frac{x^2}{2} + \frac{M_0}{U_a} x \right) \right]^{1/2} \quad \dots (4) \quad w = \left( \frac{Bx + M_0 U_a}{U_a^2} \right) \left[ 3\alpha \left( \frac{B}{U_a} \frac{x^2}{2} + \frac{M_0}{U_a} x \right) \right]^{-1/2} \quad \dots (5) \quad \frac{\Delta\rho}{\rho_a} g = \frac{B}{U_a} \left[ 3\alpha \left( \frac{B}{U_a} \frac{x^2}{2} + \frac{M_0}{U_a} x \right) \right]^{-1/2} \quad \dots (6)$$

密度噴流の径路は、式(5)を式(2)に代入して  $x \rightarrow 0$  で  $z=0$  なる境界条件のもとに積分すると、次式のようになる。

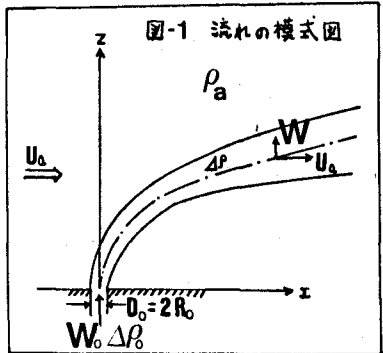
$$z - z_0 = \frac{1}{\alpha} \left[ 3\alpha \left( \frac{B}{U_a} \frac{x^2}{2} + \frac{M_0}{U_a} x \right) \right]^{1/2} \quad \dots (7)$$

方程式の無次元化；上式を無次元形で表示するために、初期運動量および浮力束の効果を表わす特性長を次式

$$L = \frac{2M_0}{U_a} = D_0 \frac{w}{U_a} = D_0 k \quad \left( k = \frac{w}{U_a} \right), \quad l = \frac{4B}{U_a^2} = \frac{D_0^2 w \frac{\Delta\rho}{\rho_a} g}{U_a^2} = L F_i^{-2} \quad \left( F_i^2 = \frac{U_a^2}{D_0 \frac{\Delta\rho}{\rho_a} g} \right) \quad \dots (8)$$

で定義する。径路式(7)は、 $\frac{z-z_0}{L} = \alpha^{1/2} \left[ \frac{3}{8} \right]^{1/2} \left[ \left( \frac{x}{L} \right)^2 + 2 \frac{x}{L} \right]^{1/2} \quad \dots (9.a) \quad \frac{z-z_0}{l} = \alpha^{1/2} \left[ \frac{3}{8} \right]^{1/2} \left[ \left( \frac{x}{l} \right)^2 + 2 F_i^2 \frac{x}{l} \right]^{1/2} \quad \dots (9.b)$

となる。すなわち、均一流体の Bent-over-Jet ( $F_i \rightarrow \infty$ ) では、 $z$  は  $x^2$  に比例するが、Bent-over-Plume では、 $1$  と  $\frac{x}{2F_i^2 k_0}$  との大小関係によつて、 $z$  は  $x^2$  から  $x^{2/3}$  に比例する型に物轉する。



次に径路に沿ったの濃度変化は、式(6)より希釈率 $\frac{\Delta P}{\Delta P_0}$ の形で表わすと

$$\frac{\Delta P}{\Delta P_0} = \frac{F_i^{2\alpha}}{(3\alpha)^{2\alpha} K} \frac{1}{\left[\left(\frac{x}{L}\right)^2 + 2F_i^2 \frac{x}{L}\right]^{2\alpha}} \quad \text{----- (10.a)}$$

$$\frac{\Delta P}{\Delta P_0} = \frac{F_i^*}{(3\alpha)^{2\alpha} K} \frac{1}{\left[\left(\frac{x}{L}\right)^2 + 2F_i^* \frac{x}{L}\right]^{2\alpha}} \quad \text{----- (10.b)}$$

### §3 Fan及び首藤の実験との比較

径路の式(10)及び $\frac{\Delta P}{\Delta P_0}$ の式(11)を実験問題に適用するには、運行係数 $\alpha$ 及び仮想原点の位置 $z_0$ をとも実験から決めねばならない。そのため、Fanの実験資料から $L > 2F_i \frac{x}{L}$ となる資料を選び $\frac{x}{L}$ と $\frac{\Delta P}{\Delta P_0}$ との関係をプロットしたものが、図-2である。同図には、Pratte, BainesのBent-over-Jetの実験における代表値も示されている。測定値はかなり散らばっているが、 $x$ を実際の放出口から測定した水平距離を用いて次式で表わされる。

$$\frac{x}{L} = 1.60 \left(\frac{\Delta P}{\Delta P_0}\right)^{1/3} \quad \text{----- (11)}$$

逆算された運行係数の値は、 $\alpha = 0.428$ で、かつ $z_0 = 0$ で仮想原点は実用上の放出口に一致するとみなしてよい。

図-3は、(9.b)を用い、 $F_i$ と $\frac{\Delta P}{\Delta P_0}$ の関係を示すもので、 $F_i > 1$ のFanの実験では、 $x^2$ に従う初期運動量の卓越領域と $x^{3/2}$ に従う浮力卓越領域とが、明瞭に見られる。 $F_i < 1$ の首藤の実験では、ほぼ浮力卓越領域のみが表われている。

図-4は、式(10.b)から希釈率の計算結果と実験結果を比較したものである。運動量卓越領域と浮力卓越領域とからなることは、径路と同様であるが、運行係数 $\alpha$ の値は前者では、 $\alpha = 0.2$ 、後者では $\alpha = 0.32$ の程度であって、実線はそれぞれの $\alpha$ を用いた計算結果である。

以上のBent-over-Plumeの取扱いにおいて、水理学的にも最も重要で興味のあるのは、運行係数 $\alpha$ の値がVertical-Plumeの値( $\alpha = 0.1$ )よりかなり大きい事、及び径路と浮力に関する $\alpha$ の値が異なる。これらは、一樣流速 $U_0$ のために形成される渦対の影響や速度、浮力分布の拡がりの差異などに起因するものと考えられ、渦対の構造や運行現象に関する実験を実施中である。

#### -参考文献-

- 1) L.N. Fan: California Institute of Technology, June 1967
- 2) Slawson: J. Fluid Mech. (1967) vol 28, Part 2, pp 311~322
- 3) 首藤伸夫: 第17回海岸工学講演会 論文集 (1970) pp. 391~394
- 4) Baines: A.S.C.E., HyD. 1967, pp. 53~64

